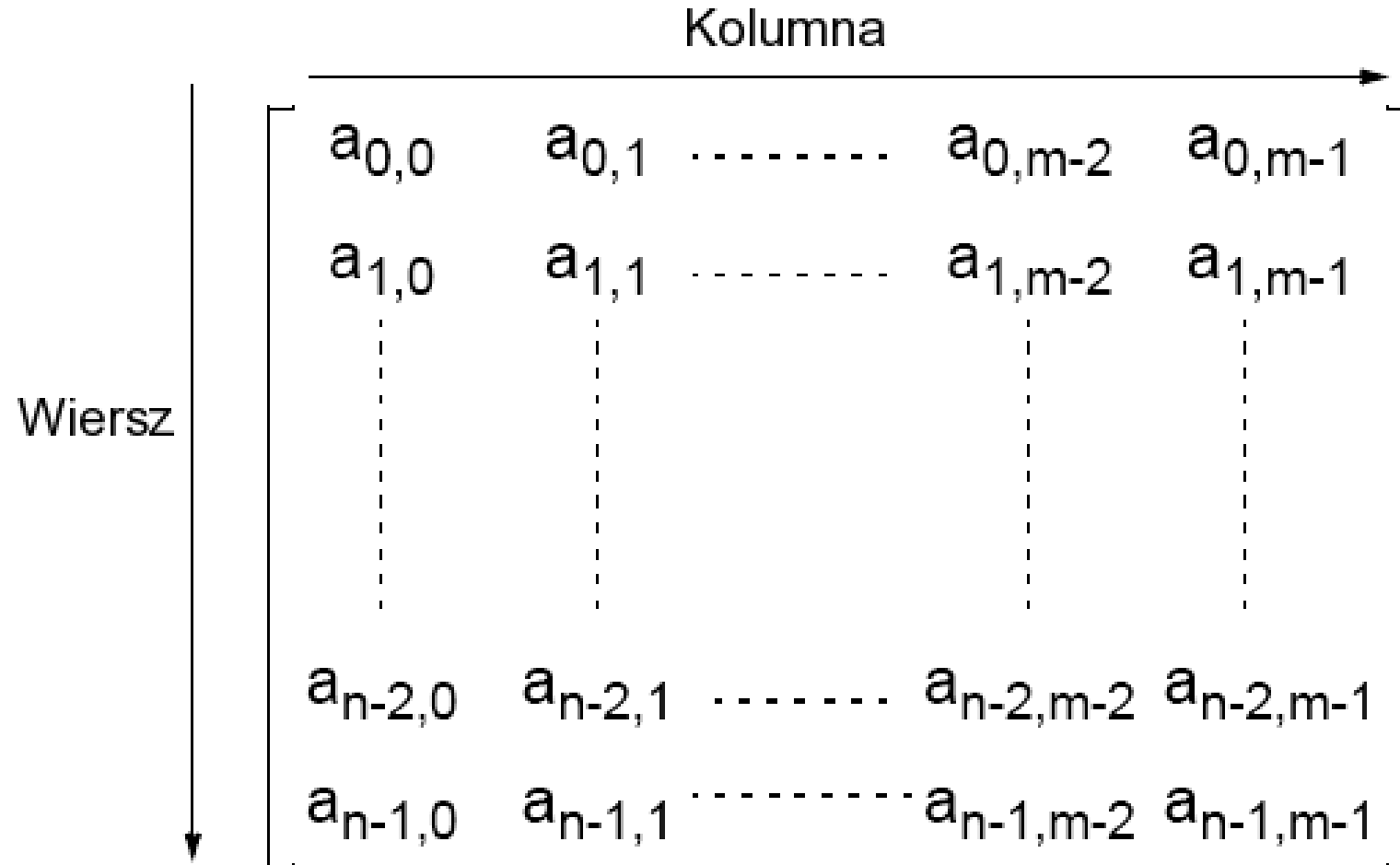


# Algorytmy numeryczne

# Wprowadzenie

- Obliczenia numeryczne są najważniejszym zastosowaniem komputerów równoległych.
- Przykładem są symulacje zjawisk fizycznych, których przeprowadzenie sprowadza się do rozwiązania układu równań różniczkowych cząstkowych.
- Z kolei przybliżone rozwiązanie układu równań różniczkowych cząstkowych jest znajdowane poprzez rozwiązanie układu równań liniowych.
- Na dzisiejszym wykładzie przedstawimy
  - Algorytmy macierzowe - głównie mnożenie dwóch macierzy
  - Rozwiązywanie układu równań liniowych.

# Macierze - przypomnienie



- Macierz  $n \times m$  (o  $n$  wierszach i  $m$  kolumnach).

# Macierze - dodawanie

- Dodawanie dwóch macierzy (o identycznych wymiarach) polega na zsumowaniu odpowiadających sobie elementów.

$$C=A+B$$

- Jeżeli elementy macierzy A oznaczmy jako  $a_{i,j}$ , a elementy macierzy B jako  $b_{i,j}$ , to element macierzy wynikowej C  $c_{i,j}$  jest określony zależnością:

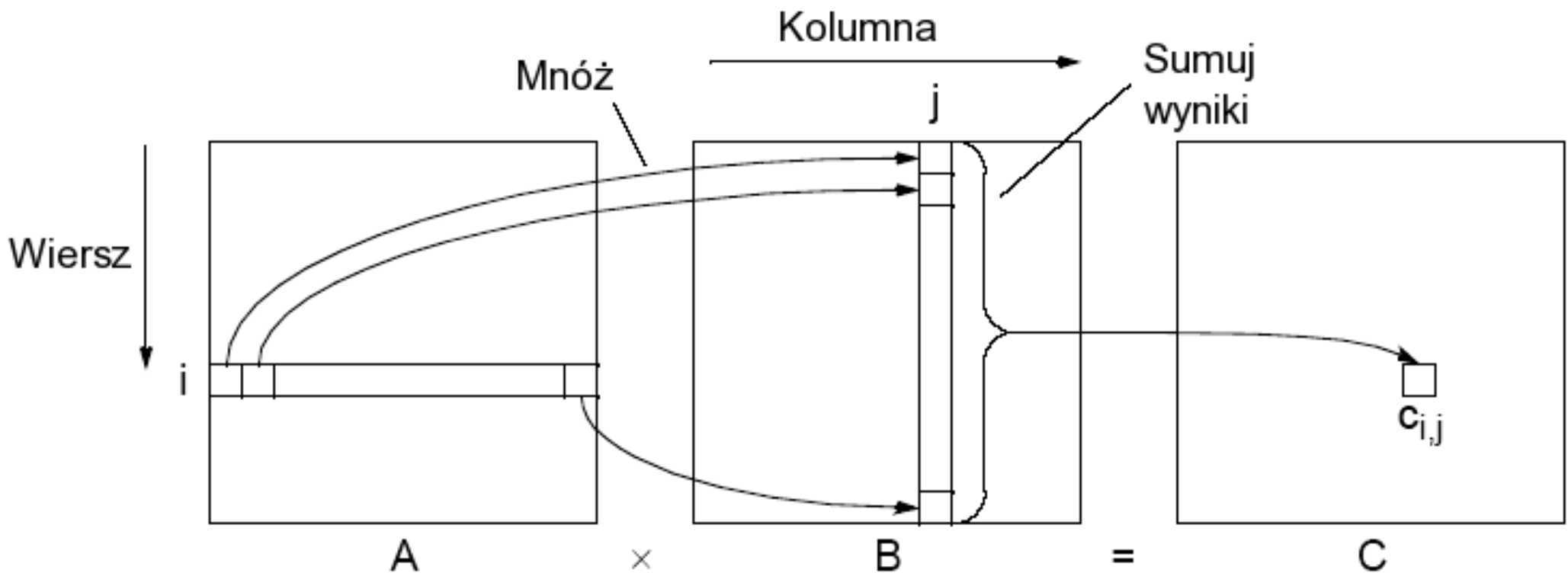
$$c_{i,j} = a_{i,j} + b_{i,j}$$

- Zrównoleglenie. Nie jest to problem tak interesujący jak mnożenie macierzy. Oczywista idea polega na jednoczesnej dekompozycji trzech macierzy A,B,C. Możliwe są dwa podejścia:
  - każdy procesor otrzymuje podzbiór wierszy (lub kolumn) każdej macierzy (dekompozycja wierszami - ang. row oriented decomposition).
  - każdy procesor otrzymuje prostokątny blok elementów macierzy. Mówimy wtedy o dystrybucji blokami (ang. block decomposition).

# Mnożenie macierzy

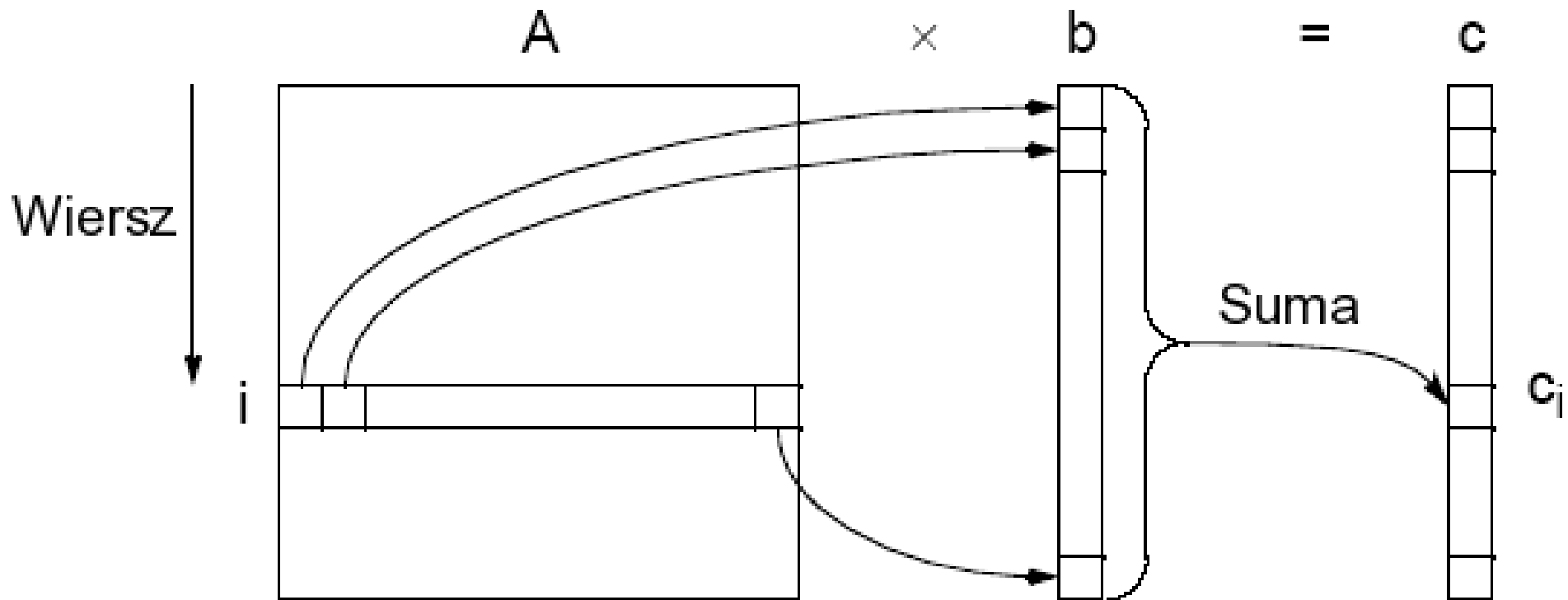
- Mnożenie dwóch macierzy A (o wymiarze  $n \times l$ ) i B (o wymiarze  $l \times m$ ) daje nam w wyniku macierz C, której elementy obliczane  $c_{i,j}$  ( $i=0 < n$  oraz  $j=0 < m$ ) są jako:

$$c_{i,j} = \sum_{k=0}^{l-1} a_{i,k} b_{k,j}$$



# Mnożenie macierzy i wektora

- Jest to szczególny przypadek mnożenia macierzy w którym wektor potraktowany jest jako macierz  $n \times 1$  (o  $n$  wierszach i jednej kolumnie).



# Implementacja mnożenia macierzy

- Zakładamy że macierze A,B,C mają wymiar  $n \times n$  (kwadratowe). Mnożenie macierzy implementuje następujący kod:

```
for (i = 0; i < n; i++)
  for (j = 0; j < n; j++) {
    c[i][j] = 0;
    for (k = 0; k < n; k++)
      c[i][j] = c[i][j] + a[i][k] * b[k][j];
  }
```

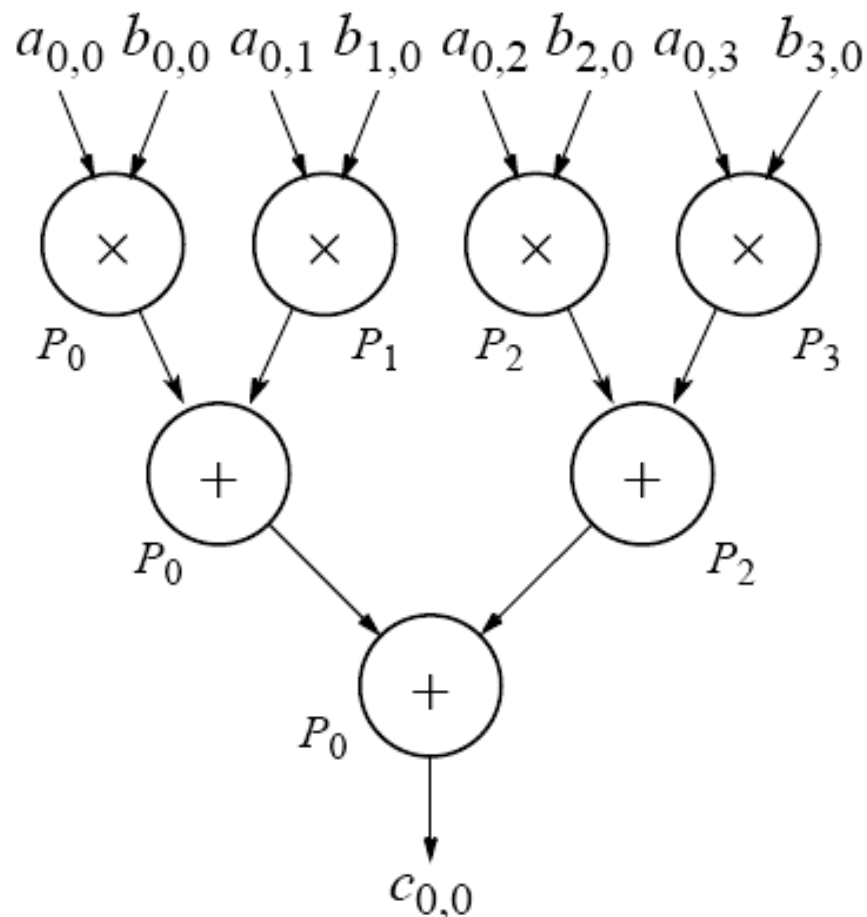
- Algorytm wykonuje  $n^3$  mnożeń i  $n^3$  dodawań, ma zatem złożoność  $O(n^3)$ .
- Powyższy kod jest stosunkowo łatwy do zrównoleglenia.

# Równoległa implementacja mnożenia macierzy

- Złożoność  $O(n^2)$  z wykorzystaniem  $n$  procesorów. Każdy z procesorów wykonuje inną iterację zewnętrznej pętli for. Wykorzystujemy fakt, że iteracje pętli for są niezależne.
- Złożoność  $O(n)$  z wykorzystaniem  $n^2$  procesorów. Każdy procesor oblicza jeden element macierzy  $C$ .
- Złożoność  $O(\log(n))$  z wykorzystaniem  $n^3$  procesorów.  $n$  procesorów wykonuje najbardziej wewnętrzną pętlę for. W odróżnieniu od dwóch poprzednich metoda nie jest optymalna ze względu na koszt, gdyż  $O(n^3) \neq n^3 * O(\log(n))$ .
- Matematycznie wykazano, że  $O(\log(n))$  jest dolnym ograniczeniem na złożoność równoległego algorytmu mnożenia macierzy.



# Wewnętrzna pętla for w czasie $O(\log(n))$



- Przykład dla macierzy  $4 \times 4$ . i czterech procesorów.

- Przy pomocy konstrukcji drzewiastej  $n$  liczb może być dodanych z wykorzystaniem  $n$  procesorów w czasie  $O(\log(n))$ . Prowadzi to do złożoności  $O(\log(n))$  całego algorytmu mnożenia macierzy z wykorzystaniem  $n^3$  procesorów.

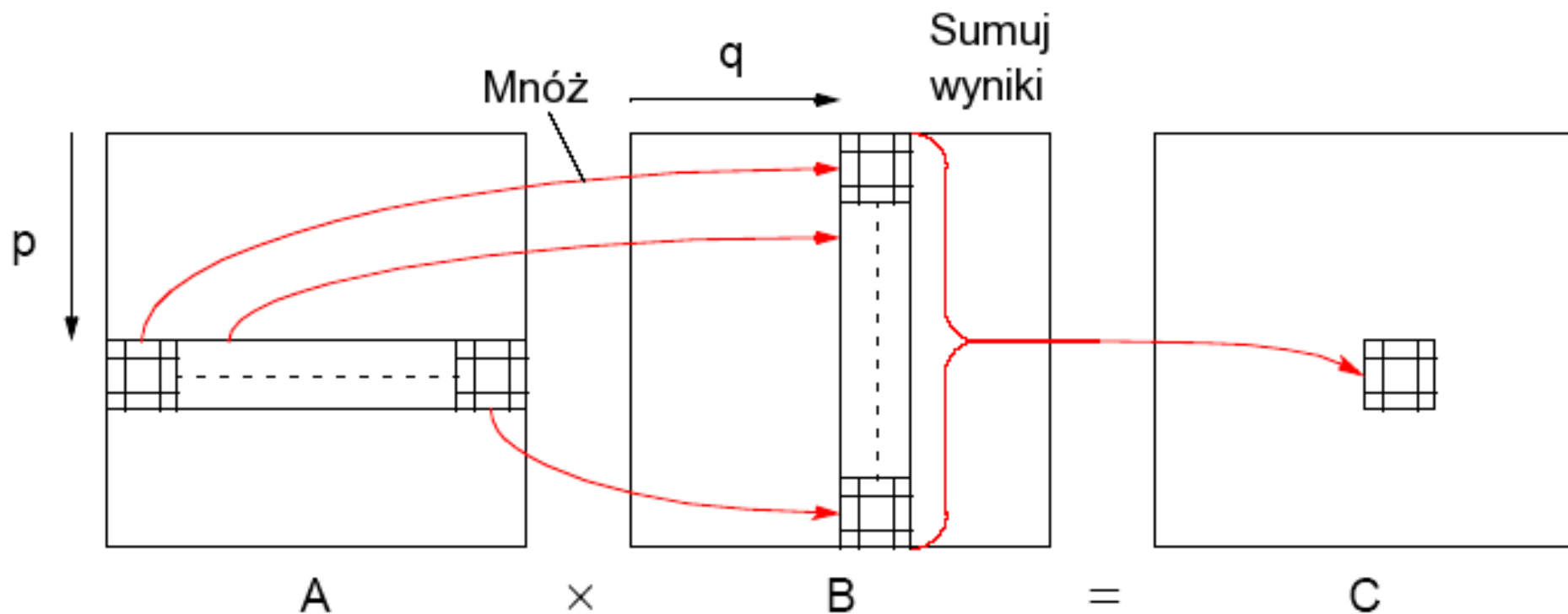
# Podział na podmacierze

- W praktycznych zastosowaniach  $n$  jest na tyle duże, że mamy do dyspozycji o wiele mniej niż  $n$  procesorów dla macierzy  $n \times n$ .
- W takiej sytuacji musimy wykonać partycjonowanie danych. Każda macierz jest dzielona na bloki elementów zwane podmacierzami (ang. submatrix). Submacierzami możemy manipulować tak, jakby były pojedynczymi elementami macierzy.
- Przypuśćmy, że macierze  $A, B, C$  podzieliśmy na  $s^2$  podmacierzy. ( $s$  w szerz oraz  $s$  w dół). Każda podmacierz ma wymiar  $m \times m$ , gdzie  $m = n/s$ . Używając notacji, w której  $A_{p,q}$  oznacza podmacierz w wierszy  $p$  i kolumnie  $q$ , algorytm mnożenia macierzy możemy zapisać jako:

```
for (p = 0; p < s; p++)
  for (q = 0; q < s; q++) {
    Cp,q = 0;
    for (r = 0; r < m; r++)
      Cp,q = Cp,q + Ap,r * Br,q;
  }
```

- Należy pamiętać, że wiersz  $C_{p,q} = C_{p,q} + A_{p,r} * B_{r,q}$  oznacza mnożenie podmacierzy  $A_{p,r}$  oraz  $B_{r,q}$  używając algorytmu mnożenia macierzy.
- Algorytm nazywany jest blokowym mnożeniem macierzy (ang. block matrix multiplication)

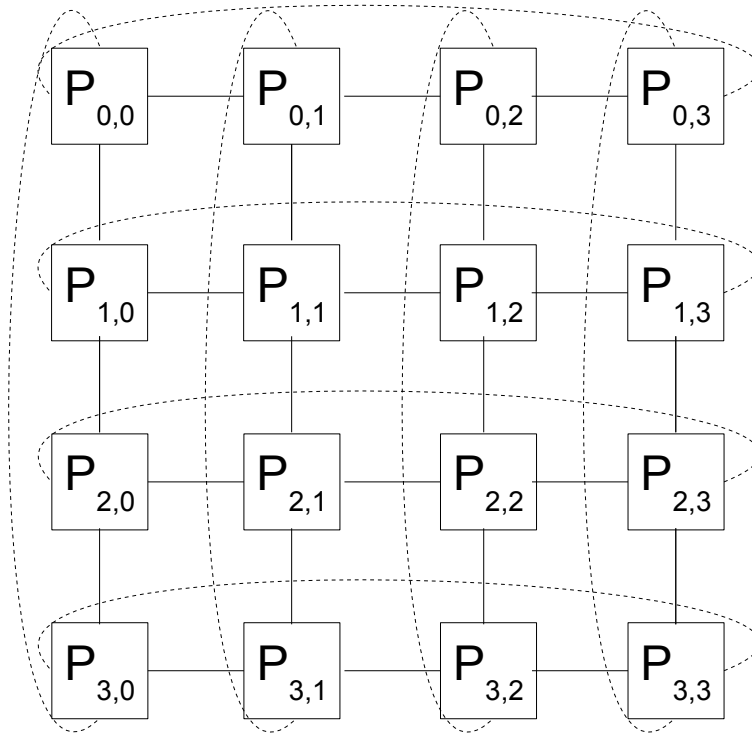
# Blokowe mnożenie macierzy - ilustracja



- Podstawowa technika wykorzystywana w mnożeniu macierzy  $n \times n$ , gdy mamy do dyspozycji mniej niż  $n$  procesorów.

# Algorytm Cannona

- Algorytm w którym procesory tworzą logiczną strukturę typu 2D-torus.



- Procesor  $P_{i,j}$  po zakończeniu obliczeń będzie przechowywał podmacierz  $C_{i,j}$ . Na początku podmacierz  $C_{i,j}$  jest równa zeru.
- Procesor  $P_{i,j}$  mnoży aktualnie przechowywaną podmacierz macierzy  $A$  z podmacierzą macierzy  $B$ , dodając wynik do  $C_{i,j}$ .
- Następnie przesyła podmacierz  $A$  sąsiadowi z lewej, a podmacierz  $B$  sąsiadowi z góry.

# Algorytm Canna - wstępne ustawienie podmacierzy

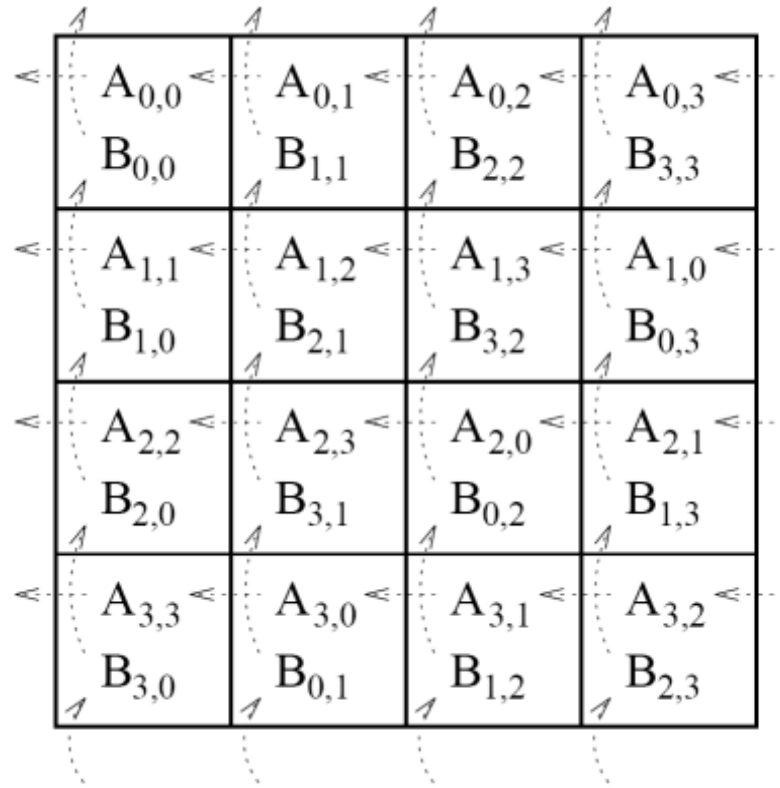
$A_{0,0}$	$A_{0,1}$	$A_{0,2}$	$A_{0,3}$
$A_{1,0}$	$A_{1,1}$	$A_{1,2}$	$A_{1,3}$
$A_{2,0}$	$A_{2,1}$	$A_{2,2}$	$A_{2,3}$
$A_{3,0}$	$A_{3,1}$	$A_{3,2}$	$A_{3,3}$

$B_{0,0}$	$B_{0,1}$	$B_{0,2}$	$B_{0,3}$
$B_{1,0}$	$B_{1,1}$	$B_{1,2}$	$B_{1,3}$
$B_{2,0}$	$B_{2,1}$	$B_{2,2}$	$B_{2,3}$
$B_{3,0}$	$B_{3,1}$	$B_{3,2}$	$B_{3,3}$

- Na początku procesor  $P_{i,j}$  przechowuje podmacierze  $A_{i,j}$  oraz  $B_{i,j}$ .
- We wstępnym kroku algorytmu  $i$ -ta kolumna  $A$  jest przesyłana  $i$ -wierszy w lewo. Z kolei  $j$ -ty wiersz  $B$  jest przesyłany  $j$  kroków w górę.

# Algorytm Cannona (2)

- Po wstępnym przesunięciu położenie podmacierzy jest następujące:



- W jednym kroku procesor  $P_{i,j}$  mnoży aktualne podmacierze  $A$  oraz  $B$ , dodaje wynik do przechowywanej wielkości  $C_{i,j}$ .
- Następnie przesyła podmacierz  $A$  w lewo a podmacierz  $B$  w górę.

# Algorytm Cannona (3)

$A_{0,1}$ $B_{1,0}$	$A_{0,2}$ $B_{2,1}$	$A_{0,3}$ $B_{3,2}$	$A_{0,0}$ $B_{0,3}$
$A_{1,2}$ $B_{2,0}$	$A_{1,3}$ $B_{3,1}$	$A_{1,0}$ $B_{0,2}$	$A_{1,1}$ $B_{1,3}$
$A_{2,3}$ $B_{3,0}$	$A_{2,0}$ $B_{0,1}$	$A_{2,1}$ $B_{1,2}$	$A_{2,2}$ $B_{2,3}$
$A_{3,0}$ $B_{0,0}$	$A_{3,1}$ $B_{1,1}$	$A_{3,2}$ $B_{2,2}$	$A_{3,3}$ $B_{3,3}$

Po pierwszym przesunięciu

$A_{0,2}$ $B_{2,0}$	$A_{0,3}$ $B_{3,1}$	$A_{0,0}$ $B_{0,2}$	$A_{0,1}$ $B_{1,3}$
$A_{1,3}$ $B_{3,0}$	$A_{1,0}$ $B_{0,1}$	$A_{1,1}$ $B_{1,2}$	$A_{1,2}$ $B_{2,3}$
$A_{2,0}$ $B_{0,0}$	$A_{2,1}$ $B_{1,1}$	$A_{2,2}$ $B_{2,2}$	$A_{2,3}$ $B_{3,3}$
$A_{3,1}$ $B_{1,0}$	$A_{3,2}$ $B_{2,1}$	$A_{3,3}$ $B_{3,2}$	$A_{3,0}$ $B_{0,3}$

Po drugim przesunięciu

$A_{0,3}$ $B_{3,0}$	$A_{0,0}$ $B_{0,1}$	$A_{0,1}$ $B_{1,2}$	$A_{0,2}$ $B_{2,3}$
$A_{1,0}$ $B_{0,0}$	$A_{1,1}$ $B_{1,1}$	$A_{1,2}$ $B_{2,2}$	$A_{1,3}$ $B_{3,3}$
$A_{2,1}$ $B_{1,0}$	$A_{2,2}$ $B_{2,1}$	$A_{2,3}$ $B_{3,2}$	$A_{2,0}$ $B_{0,3}$
$A_{3,2}$ $B_{2,0}$	$A_{3,3}$ $B_{3,1}$	$A_{3,0}$ $B_{0,2}$	$A_{3,1}$ $B_{1,3}$

Po trzecim przesunięciu

- Dzięki sprytniej manipulacji podmacierzami złożoność pamięciowa algorytmu Cannona jest  $O(n^2)$ . Nie jest wymagana dodatkowa pamięć w porównaniu z algorytmem szeregowym.

# Macierze a układy równań liniowych

$$a_{0,0}x_0 + a_{0,1}x_1 + \dots + a_{0,n-1}x_{n-1} = b_0$$

$$a_{1,0}x_0 + a_{1,1}x_1 + \dots + a_{1,n-1}x_{n-1} = b_1$$

$$a_{n-1,0}x_0 + a_{n-1,1}x_1 + \dots + a_{n-1,n-1}x_{n-1} = b_{n-1}$$

- Powyższy układ n równań liniowych może być zapisany w postaci macierzowej jako:

$$Ax = b$$

gdzie

A jest macierzą nxn stałych a.

b jest wektorem stałych b

x jest wektorem niewiadomych





# Eliminacja Gaussa

$$a_{0,0}x_0 + a_{0,1}x_1 + \dots + a_{0,n-1}x_{n-1} = b_0$$

$$a_{1,0}x_0 + a_{1,1}x_1 + \dots + a_{1,n-1}x_{n-1} = b_1$$

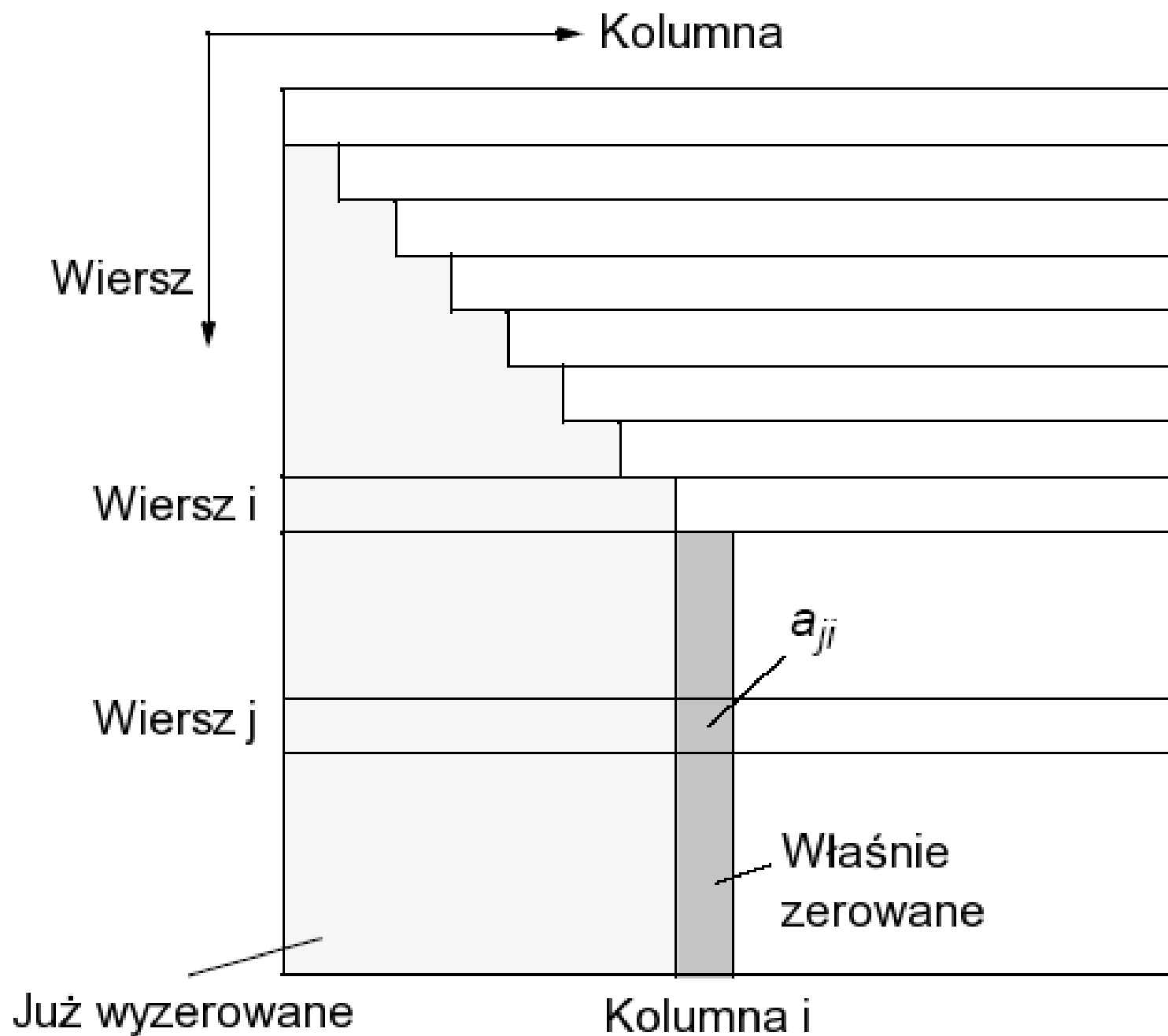
$$a_{n-1,0}x_0 + a_{n-1,1}x_1 + \dots + a_{n-1,n-1}x_{n-1} = b_{n-1}$$

- Startuje z wiersza  $i$  i postępuje w stronę wierszy o rosnących numerach.
- W każdym wierszu  $j$  poniżej  $i$  wiersz  $j$  jest zastępowany przez:

$$\text{wiersz}_j - \text{wiersz}_i \cdot a_{j,i} / a_{i,i}$$

- Np. Rozważamy wiersz 1.  $a_{1,0}$  zostanie zastąpione przez  $a_{1,0} - a_{0,0} \cdot a_{1,0} / a_{0,0} = a_{1,0} - a_{1,0} = 0$  ! Podobnie wszystkie inne elementy w kolumnie 0.
- W efekcie dla iteracji dotyczącej wiersza  $i$ , wszystkie elementy w kolumnie  $i$  poniżej  $a_{i,i}$  zostaną wyzerowane.

# Eliminacja Gaussa - ilustracja



# Eliminacja Gaussa - kod

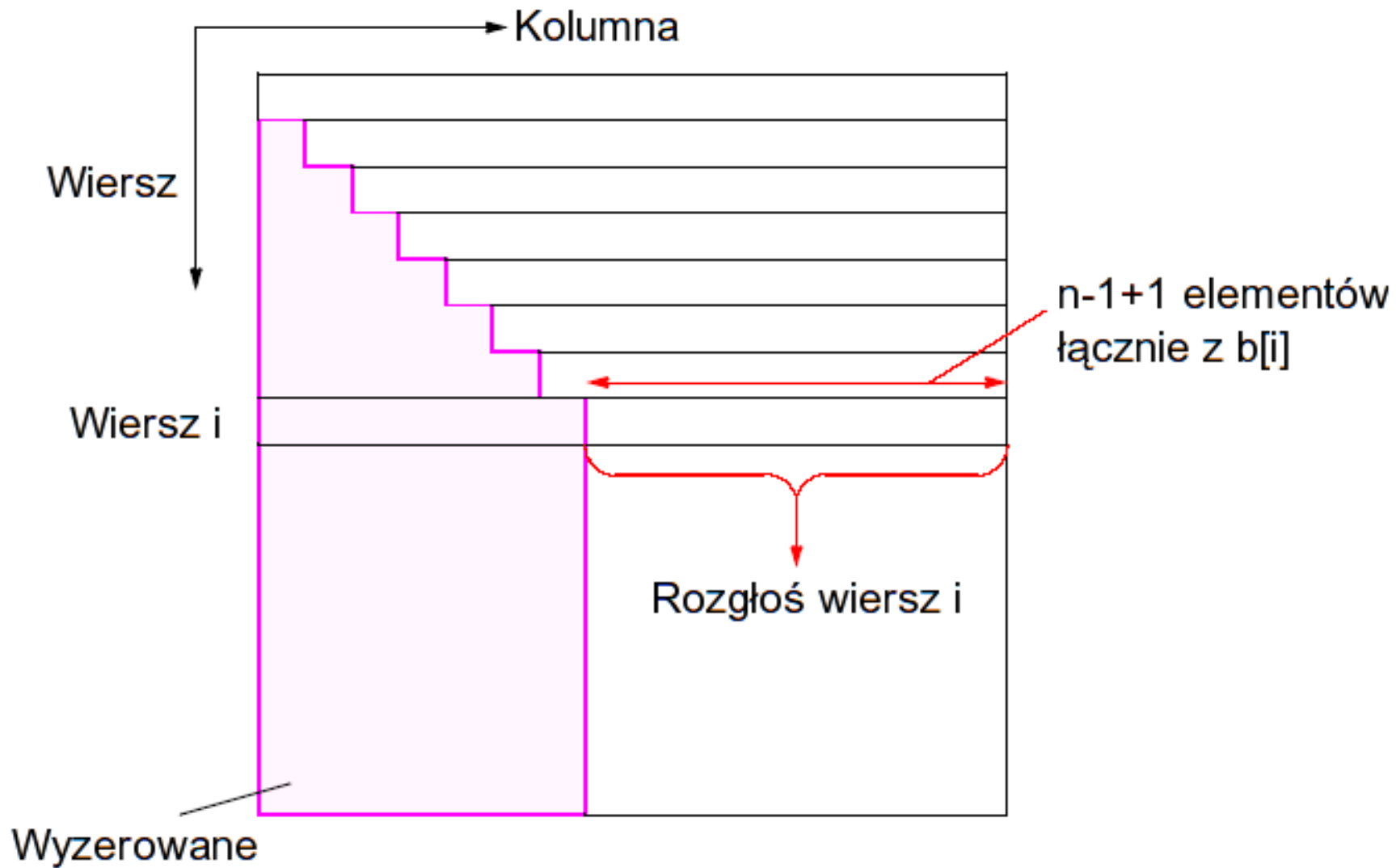
```
// Iteruj po wszystkich wierszach za wyjątkiem ostatniego
for (i = 0; i < n-1; i++)
// Postępuj dla wierszy poniżej wiersza i
    for (j = i+1; j < n; j++) {
        m = a[j][i]/a[i][i];
// Modyfikuj elementy wiersza na przekątnej i na prawo od niej
// Pozostałe zostały już wyzerowane
        for (k = i; k < n; k++)
            a[j][k] = a[j][k] - a[i][k] * m;
// Zmodyfikuj prawą stronę równania (wektor stałych b)
        b[j] = b[j] - b[i] * m;
    }
}
```

- Złożoność obliczeniowa wersji szeregowej  $O(n^3)$ .
- Co się zdarzy gdy  $a[i][i]$  jest równe zero (lub bliskie zero). Rozwiązanie: zamiana wierszy (tak aby w nowym wierszu  $a[i][i]$  było największe co do wartości bezwzględnej; zapewnia to najlepszą stabilność numeryczną).
  - Zamiana wierszy nie wpływa na rozwiązanie układu.

# Eliminacja Gaussa - zrównoleglenie

- Idea zrównoleglenia: procesor przechowuje elementy jednego wiersza i operuje na tym wierszu. Wymagane  $n$  procesorów dla  $n$  równań.
- Zanim procesor  $P_j$  przeprowadzi operację na wierszu  $j$  musi o trzymać wiersz  $i$  od procesora  $P_i$ .
  - Najpierw procesor  $P_0$  rozgłasza (broadcast) wiersz zerowy wszystkim procesorom, które modyfikują swoje wiersze.
  - Następnie procedura jest powtarzana z procesorami  $P_1, P_2, \dots, P_{n-2}$  rozgłaszającymi elementy swojego wiersza. Procesor  $P_i$  rozsyła elementy  $a[i][i+1], a[i][i+2], \dots, a[i][n-2], b[i]$  (elementy od  $a[i][0]$  do  $a[i]$  zostały wyzerowane) procesorom o większych numerach.
- Wydajność tej metody nie jest największa, ponieważ procesor  $P_i$  bierze udział tylko w eliminacji dla wierszy  $0, 1, \dots, i$ .

# Eliminacja Gaussa - rozgłaszanie wiersza



- W praktycznych zastosowaniach liczba procesorów  $\ll$  liczba wierszy macierzy

# Wersja potokowa

- W poprzedniej wersji k-ta iteracja zewnętrznej pętli for rozpoczyna się, dopiero po zakończeniu k+1 iteracji.
- W wersji potokowej procesor  $P_i$  czeka na odebranie i wyeliminowanie wszystkich wierszy o numerach mniejszych od  $i$ .
- Po tej chwili wysyła swój wiersz procesorowi  $P_{i+1}$ .
- Przykład dla macierzy 5x5 i pięciu procesów:

(0,0)	(0,1)	(0,2)	(0,3)	(0,4)
(1,0)	(1,1)	(1,2)	(1,3)	(1,4)
(2,0)	(2,1)	(2,2)	(2,3)	(2,4)
(3,0)	(3,1)	(3,2)	(3,3)	(3,4)
(4,0)	(4,1)	(4,2)	(4,3)	(4,4)

1	(0,1)	(0,2)	(0,3)	(0,4)
(1,0)	(1,1)	(1,2)	(1,3)	(1,4)
(2,0)	(2,1)	(2,2)	(2,3)	(2,4)
(3,0)	(3,1)	(3,2)	(3,3)	(3,4)
(4,0)	(4,1)	(4,2)	(4,3)	(4,4)

1	(0,1)	(0,2)	(0,3)	(0,4)
(1,0)	(1,1)	(1,2)	(1,3)	(1,4)
(2,0)	(2,1)	(2,2)	(2,3)	(2,4)
(3,0)	(3,1)	(3,2)	(3,3)	(3,4)
(4,0)	(4,1)	(4,2)	(4,3)	(4,4)

1	(0,1)	(0,2)	(0,3)	(0,4)
(1,0)	(1,1)	(1,2)	(1,3)	(1,4)
(2,0)	(2,1)	(2,2)	(2,3)	(2,4)
(3,0)	(3,1)	(3,2)	(3,3)	(3,4)
(4,0)	(4,1)	(4,2)	(4,3)	(4,4)

(a) Iteracja k=0 rozpoczyna się

(b)

(c)

(d)

- (a)  $P_0$  dzieli wiersz przez  $a[0][0]$  (b)  $P_0$  wysyła wiersz 0 do  $P_1$  (c)  $P_1$  wysyła wiersz 0 do  $P_2$ . (d)  $P_1$  przeprowadza eliminację używając wiersza 0 i jednocześnie  $P_2$  wysyła wiersz 0 do  $P_3$ .

# Potokowa wersja eliminacji Gaussa - c.d.

1	(0,1)	(0,2)	(0,3)	(0,4)
0	<b>(1,1)</b>	<b>(1,2)</b>	<b>(1,3)</b>	<b>(1,4)</b>
(2,0)	(2,1)	(2,2)	(2,3)	(2,4)
(3,0)	(3,1)	(3,2)	(3,3)	(3,4)
(4,0)	(4,1)	(4,2)	(4,3)	(4,4)

1	(0,1)	(0,2)	(0,3)	(0,4)
0	1	(1,2)	(1,3)	(1,4)
0	(2,1)	(2,2)	(2,3)	(2,4)
(3,0)	(3,1)	(3,2)	(3,3)	(3,4)
(4,0)	(4,1)	(4,2)	(4,3)	(4,4)

1	(0,1)	(0,2)	(0,3)	(0,4)
0	(1,1)	(1,2)	(1,3)	(1,4)
0	(2,1)	(2,2)	(2,3)	(2,4)
0	(3,1)	(3,2)	(3,3)	(3,4)
(4,0)	(4,1)	(4,2)	(4,3)	(4,4)

1	(0,1)	(0,2)	(0,3)	(0,4)
0	1	(1,2)	(1,3)	(1,4)
0	<b>(2,1)</b>	<b>(2,2)</b>	<b>(2,3)</b>	<b>(2,4)</b>
0	(3,1)	(3,2)	(3,3)	(3,4)
0	(4,1)	(4,2)	(4,3)	(4,4)

(e) Rozpoczyna się iteracja k=1

(f)

(g) Iteracja k=0 zakończona

(h)

1	(0,1)	(0,2)	(0,3)	(0,4)
0	1	(1,2)	(1,3)	(1,4)
0	0	<b>(2,2)</b>	<b>(2,3)</b>	<b>(2,4)</b>
0	<b>(3,1)</b>	<b>(3,2)</b>	<b>(3,3)</b>	<b>(3,4)</b>
0	(4,1)	(4,2)	(4,3)	(4,4)

1	(0,1)	(0,2)	(0,3)	(0,4)
0	1	(1,2)	(1,3)	(1,4)
0	0	1	(2,3)	(2,4)
0	0	(3,2)	(3,3)	(3,4)
0	<b>(4,1)</b>	<b>(4,2)</b>	<b>(4,3)</b>	<b>(4,4)</b>

1	(0,1)	(0,2)	(0,3)	(0,4)
0	1	(1,2)	(1,3)	(1,4)
0	0	1	(2,3)	(2,4)
0	0	(3,2)	(3,3)	(3,4)
0	0	(4,2)	(4,3)	(4,4)

1	(0,1)	(0,2)	(0,3)	(0,4)
0	1	(1,2)	(1,3)	(1,4)
0	0	1	(2,3)	(2,4)
0	0	<b>(3,2)</b>	<b>(3,3)</b>	<b>(3,4)</b>
0	0	(4,2)	(4,3)	(4,4)

(i) Start iteracji k=2

(j) Koniec iteracji k=1

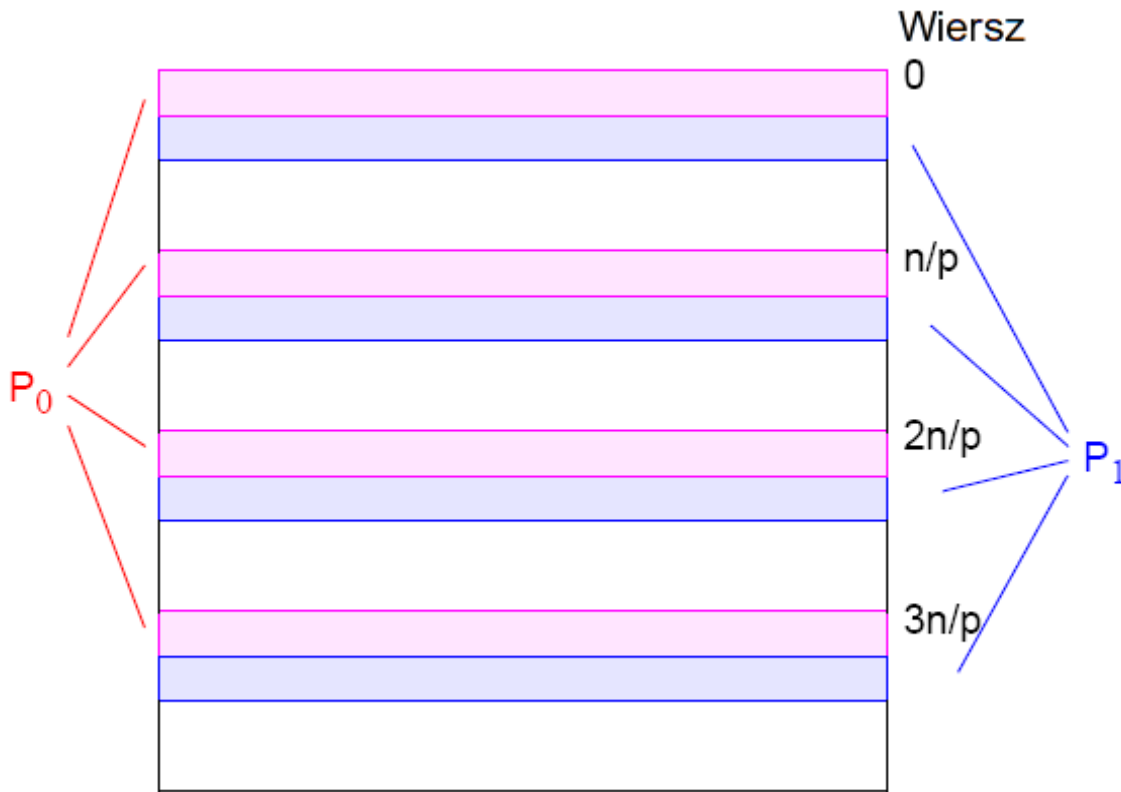
(k)

(l)

- W tym samym czasie na różnych procesorach mogą być aktywne różne iteracje.



# Partycjonowanie danych



- $n$  wierszy i  $p$  procesorów,  $n=4 \cdot p$
- $P_0$  - wiersze  $0, n/p, 2n/p, 3n/p$ .
- $P_1$  - wiersze  $1, n/p+1, 2n/p+1, 3n/p+1$ .

- Taki podział danych równoważy obciążenie pomiędzy procesory.

# Rozwiązanie układu równań trójkątnych

$$\begin{array}{rcccccc} x_0 + & u_{0,1}x_1 + & u_{0,2}x_2 + & \cdots & + & u_{0,n-1}x_{n-1} & = & y_0, \\ & x_1 + & u_{1,2}x_2 + & \cdots & + & u_{1,n-1}x_{n-1} & = & y_1, \\ & & & & & i & & i \\ & & & & & x_{n-1} & = & y_{n-1}. \end{array}$$

```
1.  procedure BACK_SUBSTITUTION (U, x, y)
2.  begin
3.      for k := n - 1 downto 0 do /* Main loop */
4.          begin
5.              x[k] := y[k];
6.              for i := k - 1 downto 0 do
7.                  y[i] := y[i] - x[k] × U[i, k];
8.              endfor;
9.  end BACK_SUBSTITUTION
```

- Kosz  $O(n^2)$  w porównaniu z  $O(n^3)$  dla eliminacji Gaussa.
- Możliwa implementacja potokowa z czasem  $O(n)$  dla  $n$  procesorów.

# Gotowe procedury numeryczne dla języków C i Fortran

- BLAS (Basic Linear Algebra Subprograms) - operacje wektor-wektor (level 1), macierz-wektor (Level 2) i macierz-macierz (Level 3). Producenci sprzętu dostarczają wersję zoptymalizowane (np. AMD- ACML; Intel - MKL). Istnieje wersja auto-dostrajająca się do procesora (ATLAS).
- LAPACK. Pakiet bibliotek do rozwiązywania układów równań liniowych, zagadnień własnych i innych zagadnień numerycznych. Wykorzystuje operacje BLAS.
- BLACS - dostarcza operacje BLAS dla maszyn z przesyłaniem komunikatów opartych na MPI. Macierze i wektory są rozproszone pomiędzy procesory systemu równoległego.
- ScaLAPACK - oparty na BLACS podzbiór LAPACK dla maszyn z przesyłaniem komunikatów opartych na MPI.

# Przykład z macierzą rzadką: cząstkowe równanie różniczkowe Laplace'a

$$\frac{\partial^2 f}{\partial x^2} + \frac{\partial^2 f}{\partial y^2} = 0$$

- Równanie modeluje między innymi rozkład temperatury w płytce, przy danej temperaturze na brzegach płytki (warunki brzegowe).
- Rozwiązaniem jest funkcja  $f(x,y)$ .
- Podobnie równanie Poissona.
- Stosuje się metodę różnic skończonych. Definiujemy dwuwymiarową siatkę punktów. Jeżeli odległość  $\Delta$  pomiędzy punktami jest niewielka to:

$$\frac{\partial^2 f}{\partial x^2} \approx \frac{1}{\Delta^2} [f(x + \Delta, y) - 2f(x, y) + f(x - \Delta, y)]$$

$$\frac{\partial^2 f}{\partial y^2} \approx \frac{1}{\Delta^2} [f(x, y + \Delta) - 2f(x, y) + f(x, y - \Delta)]$$

# Równanie Laplace'a

- Podstawiając do równania otrzymujemy:

$$f(x, y) = \frac{[f(x - \Delta, y) + f(x, y - \Delta) + f(x + \Delta, y) + f(x, y + \Delta)]}{4}$$

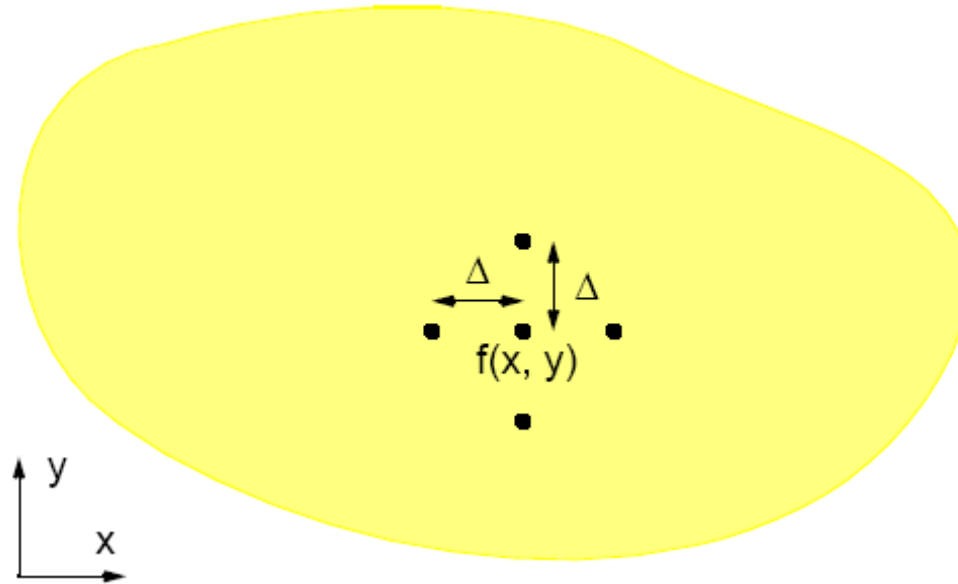
- Możemy to zapisać jako formułę iteracyjną:

$$f^k(x, y) = \frac{[f^{k-1}(x - \Delta, y) + f^{k-1}(x, y - \Delta) + f^{k-1}(x + \Delta, y) + f^{k-1}(x, y + \Delta)]}{4}$$

gdzie  $f^k(x, y)$  wartość funkcji w k-tej iteracji,  $f^{k-1}(x, y)$  - wartość funkcji w k-1 iteracji.

# Metoda różnic skończonych

Przestrzeń rozwiązań

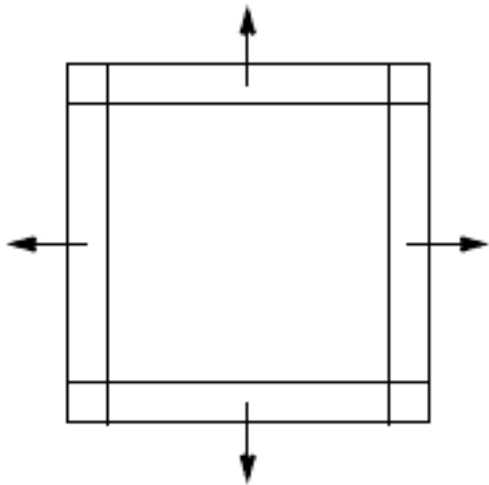


$$f^k(x, y) = \frac{[f^{k-1}(x - \Delta, y) + f^{k-1}(x, y - \Delta) + f^{k-1}(x + \Delta, y) + f^{k-1}(x, y + \Delta)]}{4}$$

- Na brzegach obszaru wartości funkcji są określone (warunki brzegowe).
- Załóżmy, że wartości funkcji w k-tej iteracji określone na siatce przechowujemy w macierzy.

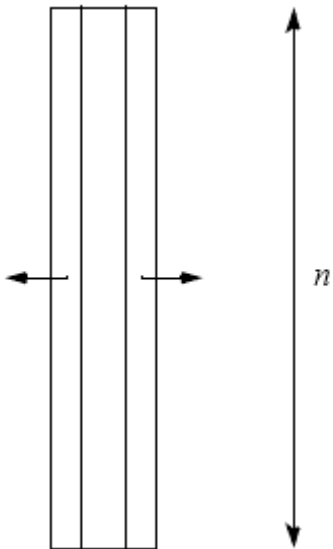


# Komunikacja przy dwóch typach partycjonowania



$$\frac{n}{\sqrt{p}}$$

$$t_c = 8 * \left( t_s + \frac{n}{\sqrt{(p)}} t_w \right)$$



$$t_c = 4 * (t_s + n * t_w)$$

- Który typ dekompozycji jest lepszy ? Zależy od wartości  $n, p, t_s, t_w$ .